



Numerical and Experimental Investigation of the Effect of Wind Load on Spherical Domes, Focusing on the Type of Roof Covering

Hossein Sadeghi^{1*}, Amir Hossein Abiri¹, Mohammad Foadian¹, Mojtaba Shokouhinia²

¹ Department of Civil Engineering, Damghan Branch, Islamic Azad University, Damghan, Iran.

² Department of Electrical Engineering, Damghan Branch, Islamic Azad University, Damghan, Iran.

ABSTRACT: In today's architecture, the use of space structures is very common and has attracted the attention of designers. Various forms of these structures can be seen in architectural designs and structures, and one of these types of structures is spherical domes. To calculate the wind load on all structures, one of the most important coefficients required is the wind pressure coefficient (C_p), which actually considers the effect of the geometry of the structure in the calculation of the wind load on the structure. In the loading codes, the coefficient (C_p) is provided for some geometries. In this article, the effect of wind load on spherical domes with three height-to-span ratios of 0.25, 0.5 and 0.75 has been investigated. Also, the effect of surface roughness has been studied in this research. The maximum of negative pressure coefficients (suction) for domes with a height to span ratio of 0.25, 0.5, and 0.75 are obtained as -0.86, -1.07, and -1.22, respectively. In domes that have protrusions in the covering roofs, these protrusions cause a general change in the wind pressure coefficients compared to the wind pressure coefficients in the domes with a the covering becomes without protrusions; Therefore, the most effective position of the projection is when the projection of the dome is placed at an angle of 90 degrees to the direction of the wind ($\theta=90^\circ$), in which case the pressure coefficients jump from negative values to positive values to $C_p=+0.7$ it arrives.

Review History:

Received: Oct. 14, 2024

Revised: Dec. 31, 2024

Accepted: Apr. 29, 2025

Available Online: Jun. 05, 2025

Keywords:

Wind Pressure Coefficient

Computational Fluid Dynamics

Wind Force

Wind Tunnel

Spherical Dome

1- Introduction

In recent years, the construction industry has focused on the development of steel and composite structures due to the advantages of ease and speed of construction, effective use of materials, lightness and strength of structures [1]. Space structures (three-dimensional trusses) are one of these types of structures. In practice, space structures are usually used for roof coverings and, due to their inherent nature and various structural features, they either lack internal support or have minimal internal support. Given that most of these types of structures are lightweight structures, wind load is usually considered as the dominant lateral load. Structures must be designed so that, in addition to bearing gravity loads, they are also resistant to lateral loads such as wind. The requirement for a robust design under wind influence is to accurately obtain the wind pressure distribution coefficients on these types of structures. In fluid mechanics, there are two ways to calculate various parameters of the fluid flow field such as velocity and pressure. The first method is the numerical solution of the Navier-Stokes equations and continuity in computational fluid dynamics, which are numerically solved using various methods such as the finite difference method, the finite volume method, and the finite element

method [2]. The second method is to conduct experimental tests in wind tunnels, which is considered one of the most efficient methods. Spherical domes are one of the common types of domes, in which the wind pressure coefficients change with the height-to-span ratio. Many studies have been conducted on the effect of wind load on structures [3-10]. In this study, the wind pressure coefficients on spherical domes with three height-to-span ratios of 0.25, 0.5, and 0.75 have been investigated, and the wind pressure coefficients have been obtained using wind tunnel tests and numerical modeling based on computational fluid dynamics using Ansys software. Figure 1 shows examples of spherical domes with different height-to-span ratios and coverings. The covering of this type of structure, such as that seen in Figure 1, can include concrete, wood, corrugated metal sheets, etc.

The pressure coefficient (C_p) depends on the geometry of the building, and the values of this coefficient are available in various codes. This coefficient is obtained by dynamic analysis of wind flow behavior. According to the codes, the pressure or suction caused by the wind on a component or the entire surface of a structure or building is obtained from equation (1).

*Corresponding author's email: h.sadeghi@iau.ac.ir



Copyrights for this article are retained by the author(s) with publishing rights granted to Amirkabir University Press. The content of this article is subject to the terms and conditions of the Creative Commons Attribution 4.0 International (CC-BY-NC 4.0) License. For more information, please visit <https://www.creativecommons.org/licenses/by-nc/4.0/legalcode>.

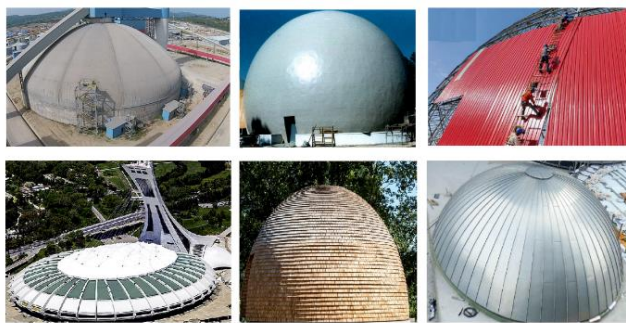


Fig. 1. Some examples of spherical domes with different coatings



Fig. 2. Details of the tested models with wind tunnel components

$$p = I_w q c_e c_t c_g c_p c_d \quad (1)$$

The dimensionless pressure coefficient C_p is defined as equation (2).

$$C_p = \frac{P - P_0}{\frac{1}{2} \rho U^2} \quad (2)$$

2- Wind tunnel test

One of the appropriate methods for investigating the effect of wind on structures is to use wind tunnel testing, and the use of this method is recommended in most codes. In Figure 2, the spherical dome models are shown along with images of the wind tunnel. As can be seen in this figure, to measure the wind pressure, a hole must be made at each point where the wind pressure is desired, and a hose is installed in each hole to measure the pressure, and the hose is connected to the pressure measurement sensor on the other side. Due to

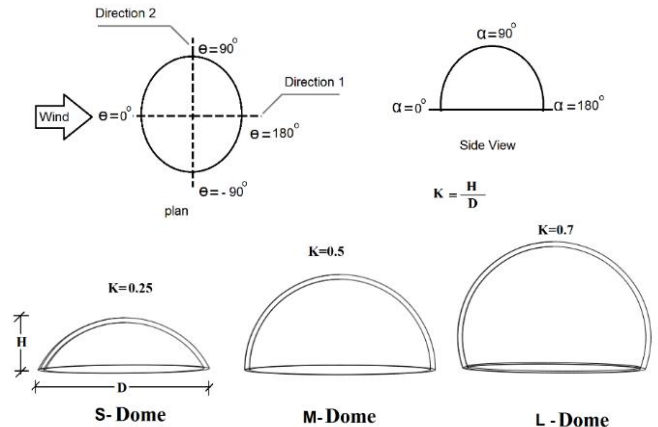


Fig. 3. Details of the spherical dome models studied

the limited number of sensors to measure the wind pressure coefficients, twenty holes are made on each model. The models are placed on a graduated plate in the wind tunnel and rotated 5 degrees to 90 degrees each time, and the wind pressure coefficients are measured at each angle. The wind inlet speed in numerical analyses and wind tunnel tests is considered to be 20 m/s.

In Figure 3, spherical dome models are shown along with images of the wind tunnel. As can be seen in this figure, to measure wind pressure, a hole must be made at each point where the wind pressure is of interest, and a hose is installed in each hole to measure the pressure, and the hose is connected to the pressure measurement sensor on the other side.

3- Numerical modeling

Simulations were performed using CFD method in ANSYS Fluent. The k-epsilon model was used in this study due to its good agreement with the experimental results. In Figure 4, the contour of the pressure coefficients on the domes S, M, and L resulting from numerical modeling is observed. The pressure coefficients are also plotted in Cartesian and polar coordinates. It is observed that with increasing the height to diameter ratio of the dome (k), the maximum positive pressure coefficients and also the maximum negative pressure coefficients (suction) increase.

4- Numerical modeling of domes with protrusions in the cover

In this section, with the aim of investigating the effect of creating protrusions in the roof covering similar to what is presented in Figure 1, the effect of these protrusions has been investigated. In Figure 5, the creation of protrusions on the surface has been investigated. Figure L-1 has four protrusions that divide the roof into four areas. The number of protrusions gradually increases until in sample L-8, the number of protrusions in the roof reaches 18. These domes have been modeled in the software and the results are presented. In Figure 5, the contour of the pressure coefficients on these domes has been drawn. With the increase in the number of

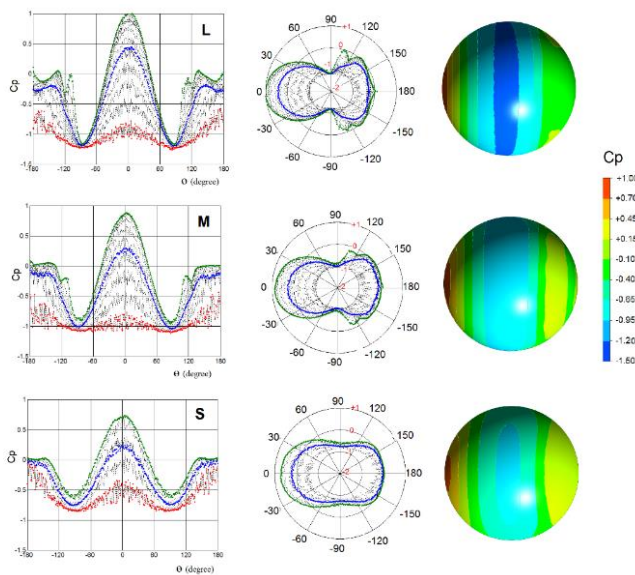


Fig. 4. Contour of wind pressure coefficients along with a graph of these coefficients in spherical domes resulting from numerical modeling

these protrusions on the surface of the structure, the change in the pressure coefficients is clearly evident.

5- Conclusions

In this paper, the effect of wind load on spherical domes was investigated and the wind pressure coefficients on this type of domes were presented using wind tunnel testing and numerical modeling based on computational fluid dynamics (CFD). The following results were obtained from the research.

As the height to opening ratio of the dome increases, the maximum negative pressure (suction) values increase. In domes with a low height to opening ratio, a larger area of the dome is subjected to suction, so that in the wind tunnel test, it is observed that domes with low heights are pulled upwards from the bottom of the tunnel under the influence of wind load.

The maximum positive pressure coefficients obtained from numerical modeling in domes S, M and L are equal to 0.66, 0.78 and 1.02, also the maximum negative pressure coefficients (suction) for the mentioned domes are equal to -0.86, -1.07 and -1.22 respectively. By observing the pressure coefficient contours, it is observed that the pressure coefficient is almost constant at $\theta=150^\circ$ to $\theta=180^\circ$ for all domes.

C). The most effective position of the protrusion is when the dome protrusion is at $\theta=90^\circ$, in which case the pressure coefficients jump towards positive values to $C_p=+0.7$.

References

- [1] S. Vinothni, P. Sangeetha, Space Frame Structure as Roof and Floor System—A Review, Sustainable Practices and Innovations in Civil Engineering: Select Proceedings of

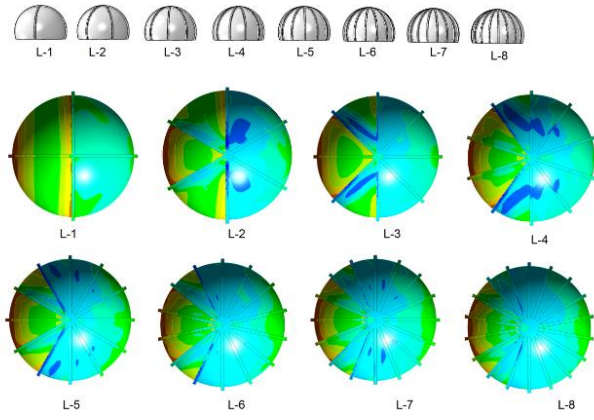


Fig. 5. Contour of pressure coefficients on L-shaped spherical domes with protrusions created on the structure

SPICE 2021, (2022) 291-298.

- [2] P.K. Goyal, S. Kumari, S. Singh, R.K. Saroj, R.K. Meena, R. Raj, Numerical study of wind loads on Y plan-shaped tall building using CFD, Civil Engineering Journal, 8(2) (2022) 263-277.
- [3] N. Kharoua, L. Khezzar, Large eddy simulation study of turbulent flow around smooth and rough domes, Proceedings of the Institution of Mechanical Engineers, Part C: Journal of Mechanical Engineering Science, 227(12) (2013) 2686-2700.
- [4] J.H. Lee, Y.C. Kim, D.J. Cheon, S.W. Yoon, Wind pressure characteristics of elliptical retractable dome roofs, Journal of Asian Architecture and Building Engineering, 21(4) (2022) 1561-1577.
- [5] L. Pagnini, S. Torre, A. Freda, G. Piccardo, Wind pressure measurements on a vaulted canopy roof, Journal of Wind Engineering and Industrial Aerodynamics, 223 (2022) 104934.
- [6] M.J. Park, S.W. Yoon, Y.C. Kim, D.J. Cheon, Wind pressure characteristics based on the rise–span ratio of spherical domes with openings on the roof, Buildings, 12(5) (2022) 576.
- [7] F. Rezaeinamdar, M. Sefid, H. Nooshin, Numerical and experimental investigation of wind pressure coefficients on scallop dome, Int. J. Optim. Civil Eng, 12(3) (2022) 313-334.
- [8] H. Sadeghi, M. Heristchian, A. Aziminejad, H. Nooshin, Wind effect on grooved and scallop domes, Engineering Structures, 148 (2017) 436-450.
- [9] T. Taylor, Wind pressures on a hemispherical dome, Journal of Wind Engineering and Industrial Aerodynamics, 40(2) (1992) 199-213.
- [10] A. Verma, R.K. Meena, R. Raj, A.K. Ahuja, Experimental investigation of wind induced pressure on various type of low-rise structure, Asian Journal of Civil Engineering, 23(8) (2022) 1251-1265.

بررسی عددی و آزمایشگاهی اثر بار باد بر گنبدهای کروی با تمکز بر نوع پوشش سقف

حسین صادقی^{۱*}، امیر حسین عبیری^۱، محمد فوادیان^۱، مجتبی شکوهی نیا^۲

۱- گروه مهندسی عمران، واحد دامغان، دانشگاه آزاد اسلامی، دامغان، ایران.

۲- گروه مهندسی برق، واحد دامغان، دانشگاه آزاد اسلامی، دامغان، ایران.

تاریخچه داوری:

دریافت: ۱۴۰۳/۰۷/۲۳

بازنگری: ۱۴۰۳/۱۰/۱۱

پذیرش: ۱۴۰۴/۰۲/۰۹

ارائه آنلاین: ۱۴۰۴/۰۳/۱۵

خلاصه: در معماری امروزی استفاده از سازه‌های فضاکار بسیار متداول بوده و موردنظر طراحان قرار گرفته است. اشکال مختلفی از این سازه‌ها در طرح‌ها و سازه‌های معماری به چشم می‌خورد که یکی از این نوع سازه‌ها گنبدهای کروی است. برای محاسبه بار باد روی تمامی سازه‌ها یکی از مهم‌ترین ضرایب موردنیاز ضربی فشار باد (C_p) است که در واقع تأثیر هندسه سازه را در محاسبه بار باد بر سازه در نظر می‌گیرد. در آینه نامه‌های بارگزاری، ضربی (C_p) برای برخی از هندسه‌ها ارائه شده است. در این مقاله تأثیر بار باد بر گنبدهای کروی با سه نسبت ارتفاع به دهانه $0/25$ ، $0/05$ و $0/75$ بررسی شده است. همچنین اثر نوع سطح پوشش در این تحقیق بررسی شده است. بیشینه ضرایب فشار منفی (مکش) برای گنبدهای با نسبت ارتفاع به دهانه $0/25$ ، $0/05$ و $0/75$ به ترتیب برابر $0/08$ و $-0/10$ و $-0/12$ به دست می‌آید. در گنبدهایی که دارای برآمدگی در پوشش هستند، این برآمدگی‌ها باعث تغییر کلی در ضرایب فشار باد نسبت به ضرایب فشار باد در گنبدهای با پوشش صیقلی می‌شوند؛ لذا تأثیر گذارترین حالت قرارگیری برآمدگی در حالی است که برآمدگی گنبد در زاویه 90° درجه نسبت به جهت اعمال باد ($\theta = 90^\circ$) قرار گیرد که در این صورت پرش ضرایب فشار از مقادیر منفی به سمت مقادیر مثبت به مقدار $+0/7$ می‌رسد.

کلمات کلیدی:

ضرایب فشار باد

دینامیک سیالات محاسباتی

نیروی باد

تونل باد

گنبد کروی

ناویر استوکس و پیوستگی در علم دینامیک سیالات محاسباتی است که این حل‌های عددی با استفاده از روش‌های مختلف مانند روش تفاضل محدود، روش حجم محدود و المان محدود انجام می‌شوند [۱]. روش دوم نیز انجام آزمایش‌های تجربی در تونل‌های باد است که یکی از کارآمدترین روش‌ها محسوب می‌شود. گنبدهای کروی یکی از انواع متداول گنبدها هستند، در این نوع گنبدها با تغییر نسبت ارتفاع به دهانه ضرایب فشار باد تغییر می‌یابد. در این تحقیق ضرایب فشار باد بر روی گنبدهای کروی با 3 نسبت ارتفاع به دهانه $0/25$ ، $0/05$ و $0/75$ بررسی شده است و ضرایب فشار باد با استفاده از آزمون‌های تونل باد و مدل سازی عددی بر اساس دینامیک سیالات محاسباتی با استفاده از نرم افزار Ansys به دست آمده است. در شکل ۱ نمونه‌هایی از گنبدهای کروی با نسبت‌های ارتفاع به دهانه و پوشش‌های مختلف دیده می‌شود، پوشش این نوع از سازه‌ها مانند آنچه در شکل ۱، دیده می‌شود می‌تواند شامل بتن، چوب، ورق‌های فلزی موج دار و... باشد. به طور کلی شکل هندسی سازه یکی از پارامترها تأثیرگذار بر اثر باد بر روی سازه است. در این میان با توجه به فقدان اطلاعات مربوط به هر نوع شکل

۱- مقدمه
در سال‌های اخیر، صنعت ساختمان به دلیل مزیت سهولت و سرعت ساخت، استفاده مؤثر از مصالح، سبکی و استحکام سازه‌ها بر توسعه سازه‌های فولادی و مرکب متمن‌کشیده است [۱]. سازه‌های فضایی (خرپاهای سه‌بعدی) یکی از این نوع از سازه‌ها است. در عمل، سازه‌های فضاکار معمولاً برای پوشش‌های سقف استفاده می‌شود و به دلیل ماهیت ذاتی و ویژگی‌های مختلف سازه‌ای، یا فاقد تکیه‌گاه داخلی و یا دارای حداقل تکیه‌گاه داخلی می‌باشند، با توجه به اینکه بیشتر این نوع سازه‌ها سازه‌های سبک هستند، بنابراین معمولاً بار باد به عنوان بار جانبی غالب مدنظر قرار می‌گیرد. سازه‌ها باید طوری طراحی شوند که علاوه بر تحمل بارهای ثقلی در برابر بارهای جانبی نظیر باد نیز مقاوم باشند. لازمه طراحی مقاوم تحت تأثیر باد، به دست آوردن دقیق ضرایب توزیع فشار باد بر روی این نوع سازه‌ها است. در مکانیک سیالات، دو راه برای محاسبه پارامترهای مختلف میدان جریان سیال مانند سرعت و فشار وجود دارد. روش اول حل عددی معادلات

* نویسنده عهدهدار مکاتبات: h.sadeghi@iau.ac.ir





شکل ۱. چند نمونه از گنبدهای کروی با پوشش‌های متفاوت

Fig. 1. Some examples of spherical domes with different coatings

دارد. در این مطالعه ضریب فشار باد برای طراحی رویه گنبد برای یک نسبت خاص ارتفاع به طول دهانه پیشنهاد شده است [۵]. Jong Ho Lee و همکاران (۲۰۲۲) در پژوهشی به بررسی ویژگی‌های فشار باد بر روی سقف‌های گنبدی جمع‌شونده بیضوی، با نسبت‌های مختلف ارتفاع به دهانه، با استفاده از آزمایش تونل پرداخته و ضرایب فشار را ارائه دادند [۶]. Astha Verma و همکاران (۲۰۲۲) با استفاده از روش تجربی فشار ناشی از باد بر روی انواع سازه‌های دارای ارتفاع کم را مورد ارزیابی قراردادند. در این تحقیق و در حالت‌های متفاوت، گنبد تکی، دو، سه و چهارتایی که به صورت موازی پشت‌سرهم قرار گرفته است در تونل باد مورد آزمایش قرار گرفتند و ضرایب فشار در حالت‌های مختلف محاسبه شده و کانتورهای مربوطه جهت مقایسه شرایط متفاوت ترسیم گردید، نتایج نشان دادند زمانی که بار باد در زاویه 90° درجه بر سازه‌ها اعمال شود تغییرات بسزایی در ضرایب فشار وجود نخواهد داشت و در مقابل تأثیرات بار باد در زاویه صفر درجه بر روی ضرایب فشار قابل توجه خواهد بود [۷]. Luisa Pagnini و همکاران (۲۰۲۲) اندازه‌گیری فشار باد روی سقف سایبان را مورد بررسی قراردادند، بررسی نتایج، بر اهمیت باز تولید هندسه صحیح سازه و جزئیات آن، مانند لبه‌ها و نورگیرها، برای ایجاد شرایط مطمئن در هنگام اعمال بارهای باد تأکید شد [۸]. در تحقیقی دیگر که جزء اولین مطالعات در این زمینه نیز است T.J. Taylor (۱۹۹۲) فشار باد بر روی یک گنبد نیمکره را مورد بررسی قرارداد، در این تحقیق توزیع فشار آبرو دینامیکی بر روی گنبدهای نیمکرهای

هندسی در آیین نامه‌های طراحی، استفاده از آزمایش تونل باد یا مدل‌سازی عددی با استفاده از نرم‌افزار امری اجتناب‌ناپذیر است. در مدل‌سازی عددی، یکی از روش‌ها، روش دینامیک سیالات محاسباتی (CFD) است که در این تحقیق نیز از همین روش با استفاده از نرم‌افزار ANSYS بهره گرفته شده است. تحقیقات زیادی در مورد ضرایب فشار باد بر روی سازه‌ها انجام گرفته است؛ لذا در ادامه به چند نمونه از این تحقیقات اشاره می‌شود. رضائی نامدار و همکاران (۲۰۲۲) ضرایب فشار باد بر روی گنبدهای اسکالپ با استفاده از روش‌های عددی و تجربی را مورد محاسبه و بررسی قراردادند و با مقایسه ضرایب حاصل از هر روش، روش محاسبات عددی مبتنی بر روش دینامیک سیالات محاسباتی (CFD) را معيار مناسبی برای محاسبه ضرایب فشار در گنبدهای اسکالپ معرفی نمودند [۳]. صادقی و همکاران (۲۰۱۷) ضریب فشار باد بر روی گنبدهای شیاردار دار را مورد مطالعه قراردادند، در این مطالعه با استفاده از روش‌های عددی، اثر باد بر روی گنبدهای شیاردار را مورد بررسی قرار گرفته و نتایج نشان دادند ایجاد شیار بر روی گنبدهای کروی باعث تغییرات ناگهانی ضریب فشار باد (CP) در مجاورت شیارها خواهد شد، این پژوهش معادلاتی را برای توزیع (CP) بر روی سطوح گنبدهای کروی و شیاردار ارائه داده است [۴]. Min Jae Park و همکاران (۲۰۲۲) با استفاده از آزمایش تونل باد فشار باد ایجاد شده بر روی سقف‌های کروی ناشی از تغییر ارتفاع به دهانه گنبد را با وجود بازشو روی سقف مورد مطالعه قراردادند، یافته‌ها نشان دادند فشار منفی تقریباً در همه مناطق سقف وجود

سازه برج میلاد مورد بررسی قرار دادند [۱۶]. Rajabi و همکاران (۲۰۲۲) با استفاده از آزمایش تونل باد و مدل سازی عددی الگوی بحرانی بار باد را بر روی ساختمان های با پلان U شکل را ارائه دادند [۱۷]. همچنین Sadeghi و همکاران (۲۰۱۸) تأثیر هم جواری گنبد ها را بر روی تغییرات ضرایب فشار باد بر روی گنبد های کروی مورد بررسی قرار دادند در این تحقیق مشاهده شد زمانی که فاصله گنبد ها بیش از سه برابر قطر گنبد باشد، مجاورت گنبد ها تأثیری بر روی بار باد وارد بر گنبد ها نخواهد داشت [۱۸]. نوآوری این تحقیق در مقایسه با تحقیقات ذکر شده در بررسی اثر پوشش سقف بر روی تغییرات ضرایب فشار باد است.

۲- روابط آئین نامه ای محاسبه بار باد

در آئین نامه های طراحی سازه ها، به روش های محاسبه بار باد اشاره شده است، یکی از این روش ها، روش استاتیکی است با توجه به این روش، نیروی باد برای یک ساختمان از جمع جبری بارهای وارد ب سطح روبرو و پشت به باد (فشار و مکش) به دست می آید. مطابق مبحث ششم مقررات ملی ساختمان، فشار یا مکش ناشی از باد بر یک جزء یا تمام سطح یک سازه یا ساختمان از معادله (۱) به دست می آید.

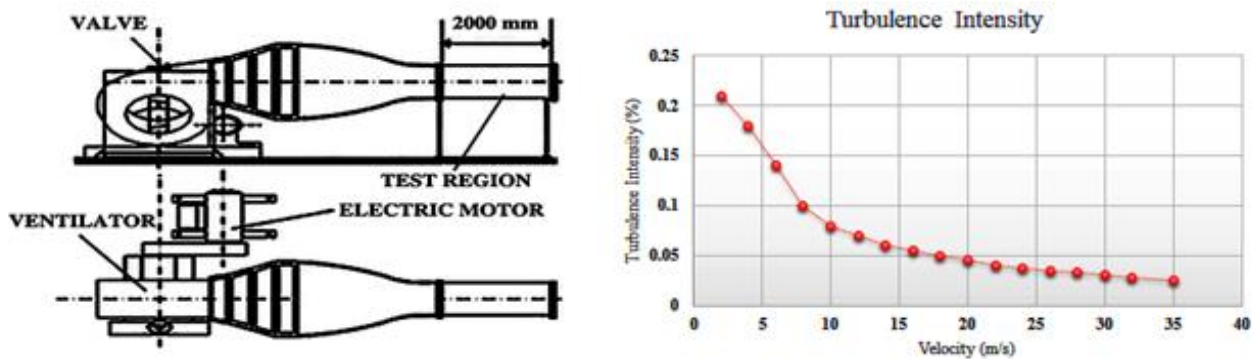
$$p = I_w q c_e c_t c_g c_p c_d \quad (1)$$

در معادله ۱، P فشار بیرونی است که به صورت استاتیکی و عمود بر سطح وارد می شود که می تواند به صورت فشار وارد بر سطح یا مکش در جهت خارج از سطح باشد، I_w ضریب اهمیت ساختمان، q فشار متناظر با سرعت مبنای C_e ضریب اثر تغییر سرعت، c_t ضریب پستی و بلندی، c_g ضریب اثر تنبد باد، c_p ضریب فشار و c_d ضریب هم راستایی باد است. ضریب فشار با استفاده از معادله ۲، به دست می آید.

$$C_p = \frac{P - P_0}{\frac{1}{2} \rho U^2} \quad (2)$$

در معادله (۲)، $P - P_0$ نشان دهنده اختلاف بین فشار محلی و فشار در نقطه ای دور از جسم P_0 است و $\frac{1}{2} \rho U^2$ فشار دینامیکی متوسط می باشد.

در جریان های لایه مرزی، تعیین میانگین، انحراف معيار، حداقل و حداکثر و ضرایب فشار متوسط ناحیه با اشاره به فشار استاتیکی جریان آزاد بر روی نمونه ها اندازه گیری شد. در این تحقیق، آثار عدد رینولدز و شدت تلاطم مساحت موربد بحث قرار گرفته و نواحی و فشارهای بحرانی برای اهداف طراحی تعریف شدند [۹]. Kharoua و همکاران (۲۰۱۳) با استفاده از روش شبیه سازی گردابی جریان های آشفته اثر بار باد اطراف گنبد های صاف و ناهموار را مورد مطالعه قرار دادند [۱۰]. Peng Zhou و همکاران (۲۰۱۹) به بررسی توزیع بار باد بر روی سطح سازه های گنبدی بر اساس شبیه سازی عددی CFD پرداختند، در این تحقیق مدل آشفته RNG برای محاسبه ضرایب جریان در اطراف ساختمان و توزیع ضریب فشار در اطراف سقف در ۷ زاویه مختلف از صفر درجه تا ۹۰ درجه مورد استفاده قرار گرفت. [۱۱]. NIE Shaofeng و همکاران (۲۰۱۲) با استفاده از آزمایش تونل باد تأثیر بار باد بر روی سقف شیروانی ساختمان های کوتاه را مورد بررسی قرار دادند، تغییرات ضرایب فشار باد و نوسان پارامترهای مختلف که ناشی از شکل هندسی سقف، جهت اعمال باد، شیب سقف و طول برآمدگی سقف بود، مورد تجزیه و تحلیل قرار گرفت [۱۲]. Khosrowjerdi و همکاران (۲۰۲۲) در پژوهشی تأثیر بار باد بر قوس های ترکیبی در ساختمان های گنبدی را مورد مطالعه قرار دادند. این تحقیق، تأثیر بار باد بر روی گنبد های دو قوسی با ارتفاعات مختلف قوس مورد بررسی قرار گرفته است. بدین منظور، گنبد های دو قوسی با نسبت ارتفاع به دهانه در نرم افزار المان محدود شبیه سازی عددی گردید و مقادیر ضریب فشار (Cp) در خط مرکزی موازی با جهت باد و همچنین بر روی حلقه های اطراف گنبد های با ارتفاع های مختلف تحلیل شد. مقایسه نتایج عددی با داده های تجربی حاکی از آن است که ارتفاع قوس ها، شکست در محل اتصال دو قوس و سطح اتصال دو قوس بر روی ضرایب فشار تأثیرگذار خواهد بود [۱۳]. XiaoyingSun و همکاران (۲۰۲۰) تأثیر بار باد بر روی سازه های غشایی با پایه قوسی بیضوی شکل را با استفاده از آزمایش تونل باد بررسی نمودند، در این پژوهش ویژگی های توزیع فشار باد بر ساختارهای غشایی قوس دار بیضوی شکل ارائه شده است و همچنین تأثیر عوامل مختلف از جمله نسبت افزایش طول دهانه، جهت اعمال نیروی بار باد بر توزیع میانگین، نوسان و ضریب فشار بیشینه بار باد را موربد بحث قرار گرفته است [۱۴]. NingSu و همکاران (۲۰۲۱) در تحقیقات خود اثر عدد رینولدز بر مخازن کروی با درنظر گرفتن اثر زبری سطح با استفاده از آزمایش تونل باد را مورد بررسی قرار دادند [۱۵]. شیخ الاسلامی و همکاران (۲۰۲۳) با استفاده از آزمایش تونل باد و مدل سازی عددی اثر بار باد بر روی



شکل ۲. تصویری شماتیک از تونل باد به همراه تغییرات درصد اغتشاش نسبت به سرعت در تونل باد

Fig. 2. Schematic of the wind tunnel components and Profile of turbulence intensity percentage based on velocity at the center of the test section



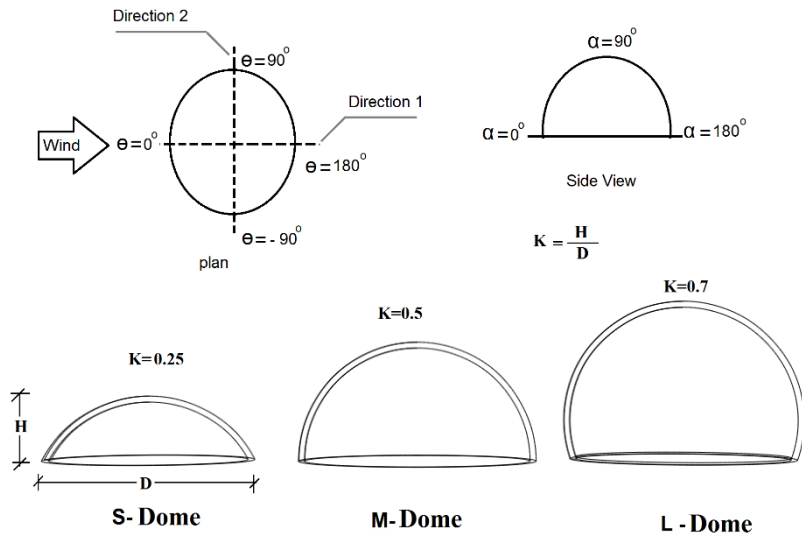
شکل ۳. جزییات مدل های آزمایش شده به همراه اجزا تونل باد

Fig. 3. Details of the tested models with wind tunnel components

دید تجربی و عملی شناخته می‌شود. در این تحقیق، از تونل باد دانشگاه صنعتی شاهرود، با طول تقریبی ۱۸ متر و ابعاد افقی آزمایش، برابر عرض و ارتفاع ۸۰ سانتیمتر و طول ۲۰۰ سانتیمتر بهره گرفته شده است. در شکل ۲، تصویر شماتیک تونل باد و درصد شدت تلاطم به عنوان تابعی از سرعت در مرکز بخش آزمایش، همچنین نسبت سرعت میانگین U به سرعت در داخل تونل باد در فاصله $X=750$ میلی‌متر از ورودی بخش آزمایش نیز برای موقعیت‌های مختلف سیم داغ نشان داده شده است.

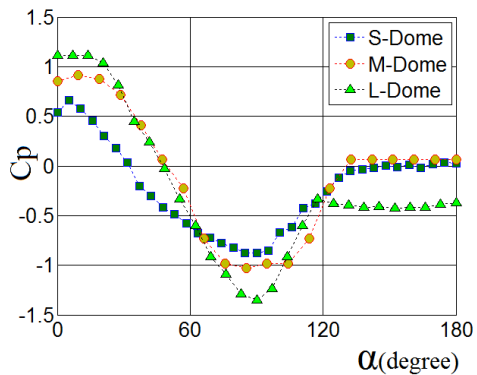
در شکل ۳، مدل‌های گنبد کروی به همراه تصاویری از تونل باد نشان داده شده است، همانطور که در این شکل مشاهده می‌شود، برای اندازه گیری فشار باد باید در هر نقطه که فشار باد در آن نقطه مدنظر است یک

۳- آزمایش تونل باد
 یکی از روش‌های مناسب جهت بررسی تأثیر باد بر سازه‌ها استفاده از آزمایش تونل باد است، استفاده از این روش در اکثر آینه‌نامه‌ها پیشنهاد شده است. علم آئرودینامیک در ابتدا یک علم آزمایشگاهی و تجربی بوده، در آئرودینامیک تجربی یکی از وسایلی که کارایی خود را به صورت کامل به نمایش گذاشته است تونل باد است. این وسیله از آن جهت مورد استفاده قرار می‌گیرد که می‌توان توسط آن مدلی از اجسام را با شرایط دلخواه آزمایشگاهی مورد تحلیل و بررسی قرارداد. از آنجایی که آئرودینامیک، علمی است که پدیده عبور جریان یک سیال را در اطراف اجسام مختلف بررسی می‌کند، تونل باد به عنوان مهم‌ترین ابزار تحقیقاتی در مسائل مختلف آن از



شکل ۴. جزئیات مدل های گنبد کروی مورد مطالعه

Fig. 4. Details of the spherical dome models studied



شکل ۵. نتایج ضرایب فشار باد بر روی گنبدها به دست آمده از آزمایش توNEL باد

Fig. 5. Results of wind pressure coefficients on domes obtained from wind tunnel testing

سطح رو به باد در پای قوس و زاویه $\alpha = 90^\circ$ بیانگر تاج قوس و $\alpha = 180^\circ$ تا پای قوس در قسمت پشت به باد در راستای ۱ می باشد. θ بین 180° درجه و α بین 0° تا 180° درجه متغیر است و ضرایب فشار بر اساس این دو پارامتر رسم می شود. مشخصات هندسی گنبدهای بررسی شده در جدول ۱، ارائه شده است، قطر هر سه گنبد ۲۰ سانتی متر است.

در شکل ۵، ضرایب فشار باد بر روی گنبدهای مورد مطالعه، حاصل از آزمایش توNL باد ارائه شده است، بیشینه ضریب فشار مثبت که در سطوح رو به باد حاصل می شود که این مقادیر به ترتیب در گنبدهای S و M و L برابر

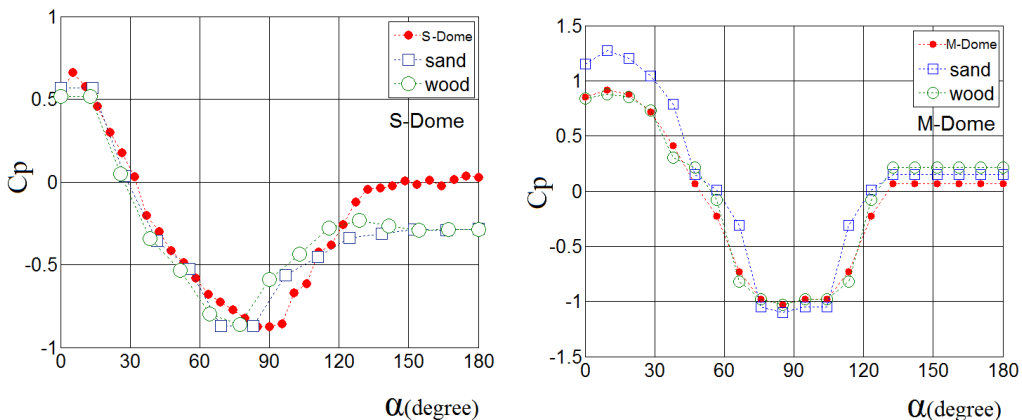
جدول ۱. جزئیات گنبدهای بررسی شده در تحقیق

Table 1. Details of the domes examined in the research

گنبد	D(cm)	H (cm)	K (H/D)
S	۲۰	۵	۰/۲۵
M	۲۰	۱۰	۰/۵۰
L	۲۰	۱۵	۰/۷۵

سوراخ ایجاد شده، و به هر سوراخ یک لوله جهت اندازه گیری فشار نصب شده و لوله از سوی دیگر به حسگر اندازه گیری فشار متصل می شود. با توجه به محدودیت تعداد حسگر ها جهت اندازه گیری ضرایب فشار باد، بر روی هر مدل بیست سوراخ ایجاد شده است، مدل ها در توNL باد بر روی صفحه ای مدرج قرار گرفته و هر بار ۵ درجه تا 90° درجه چرخانده شده است و در هر زاویه ضرایب فشار باد اندازه گیری شده است، سرعت ورودی باد در تحلیل های عددی و آزمایش توNL باد ۲۰ متر بر ثانیه در نظر گرفته شده است.

شکل ۴، مشخصات هندسی گنبدهای کروی و متغیرهای استفاده شده در این مقاله را نشان می دهد. در این شکل، H ارتفاع تاج سطح رو به باد و K نسبت ارتفاع به دهانه گنبد است. زاویه $\theta = 0^\circ$ بیانگر سطح رو به باد و $\theta = 180^\circ$ بیانگر سطح پشت به باد در راستای ۲ است. زاویه $\alpha = 0^\circ$ بیانگر



شکل ۶. مقایسه ضرایب فشار باد بر روی گنبد کروی با پوشش سقف (زبری) مختلف حاصل از آزمایش تونل باد

Fig. 6. Comparison of wind pressure coefficients on a spherical dome with different roof coverings (roughness) obtained from wind tunnel testing

استفاده از روش CFD در [۱۹] ANSYS Fluent انجام شده است، مدل k-epsilon به دلیل داشتن تطبیق مناسب با نتایج آزمایشگاهی، در این تحقیق استفاده شده است. مدل k-epsilon از دو معادله انتقال برای حل انرژی جنبشی آشفته (K) و سرعت اتلاف گردابی (اپسیلون) استفاده می کند. مدل استاندارد k-epsilon توسط Jones and Launder [۲۰] و Launder and Sharma [۲۱] بر اساس مفهوم ویسکوزیته گردابی خطی توسعه یافته است. تنش های رینولذز به صورت خطی با نرخ کرنش متوسط تغییر می کند. تنش های رینولذز در مدل ویسکوزیته گردابی به صورت بیان می شود:

$$\tau_{ij} = 2\mu_t \left(S_{ij} - S_{nn} \delta_{ij} / 3 \right) - 2\rho k \delta_{ij} / 3 \quad (۳)$$

μ_t ویسکوزیته گردابی است، S_{ij} تانسور نرخ کرنش میانگین سرعت، ρ نشان دهنده ویسکوزیته، k نشان دهنده انرژی جنبشی آشفته، و δ_{ij} دلتای کرونکر است. ویسکوزیته گردابی به عنوان تابعی از انرژی جنبشی آشفته و سرعت اتلاف آشفته تعریف می شود:

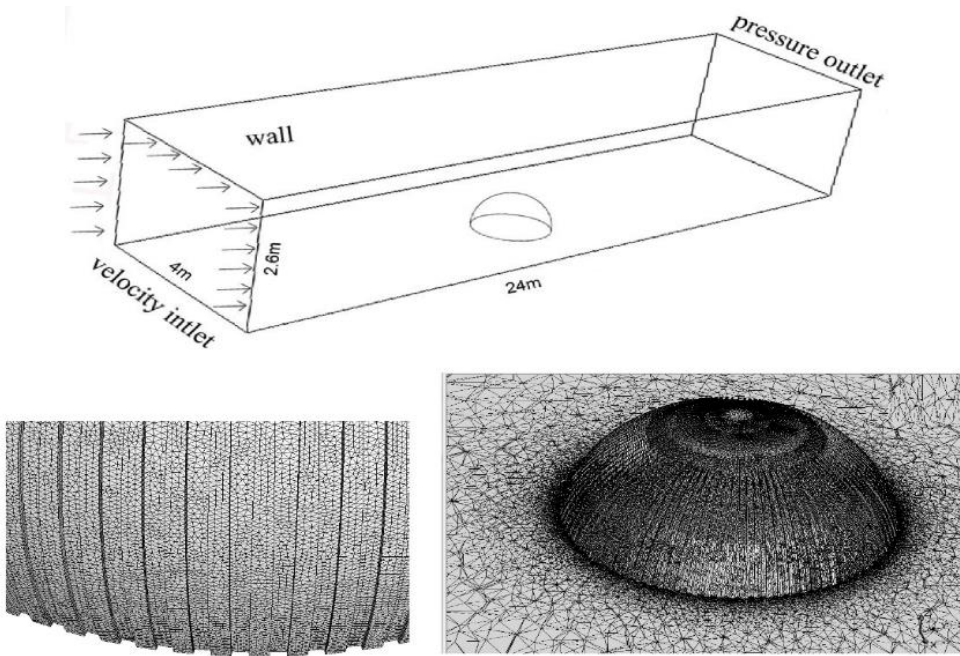
$$\mu_t = c_\mu f_\mu \rho k^2 / \varepsilon \quad (۴)$$

c_μ ضریب مدل به دست آمده توسط تجزیه و تحلیل تعادل در اعداد

با $66/0$ و $91/1$ است، همچنین بیشینه ضرایب فشار منفی (مکش) برای گنبدهای ذکر شده به ترتیب برابر $87/-0$ و $3/10$ و $3/15$ است. مشاهده می شود با افزایش نسبت ارتفاع به دهانه (k) ماکریم ضریب فشار منفی افزایش می یابد، چنانچه در شکل ۵، مشاهده می شود بیشینه ضریب فشار منفی در تاج گنبد در $\alpha = 90^\circ$ بدست می آید. شکل ۶، ضرایب فشار باد بر روی گنبد S و گنبد M با سه پوشش متفاوت رسم شده است. سطح گنبدهای آزمایش شده در تونل باد، در حالت اولیه با توجه به ساخت این گنبدها با پرینتر سه بعدی دارای سطحی صیقلی است، با هدف بررسی اثر زبری سطح بر تغییرات ضرایب فشار گنبدها همانطور که در شکل ۳، قابل مشاهده است سطح به وسیله پوشش چوب (wood) و در حالتی دیگر به وسیله ماسه (sand) زبر شده است و نتایج ضرایب فشار بر روی این گنبدها در شکل ۶، ارائه شده است.

۴- مدل سازی عددی

در ۵۰ سال گذشته، روش محاسباتی در مهندسی باد (CWE) به عنوان یکی از شاخه های دینامیک سیالات محاسباتی برای تخمین اثر متقابل بین باد و سازه ها به صورت روشی عددی در برنامه های کاربردی پیشرفت چشمگیری داشته است، روش هایی از قبیل شبیه سازی عددی مستقیم (DNS) روش مبتنی بر معادلات ناویر-استوکس میانگین گیری شده از روش رینولذز (RANS) و درنهایت شبیه سازی گردابه های بزرگ (LES) به عنوان روش های حل معادلات محسوب می شود. شبیه سازی ها با



شکل ۷. شرایط مرزی تونل باد و مدل مشن بندی گنبد دارای شیارهای قائم

Fig. 7. Wind tunnel boundary conditions and meshing model of a dome with vertical grooves

$$c_\mu = 0.09 \quad c_{\varepsilon 1} = 1.45 \quad c_{\varepsilon 2} = 1.92$$

$$\sigma_k = 1.0 \quad \sigma_\varepsilon = 1.3 \quad Pr_t = 0.9$$

$$f_2 = 1 - 0.3 \exp(-Re_t^2) \text{ and } Re_t = \frac{\rho k^2}{\mu \varepsilon} \quad (\lambda)$$

$$\phi_k = 2\mu \left(\frac{\partial \sqrt{k}}{\partial y} \right)^2 \text{ and } \phi_\varepsilon = 2\mu \frac{\mu_t}{\rho} \left(\frac{\partial^2 u_s}{\partial y^2} \right)^2 \quad (\eta)$$

رینولدز بالا است، در حالی که f_μ تابع میرایی است. تابع میرایی بر اساس عدد رینولدز آشفته تعریف می‌شود.

$$Re_t = \rho k^2 / \mu \varepsilon \quad (5)$$

$$f_\mu = \exp \left(-3.4 / (1 + 0.02 Re_t)^2 \right)$$

معادلات انتقال آشفته مدل k-epsilon در مدل Launder-Shar- ma بهصورت زیر تعریف می‌شوند.

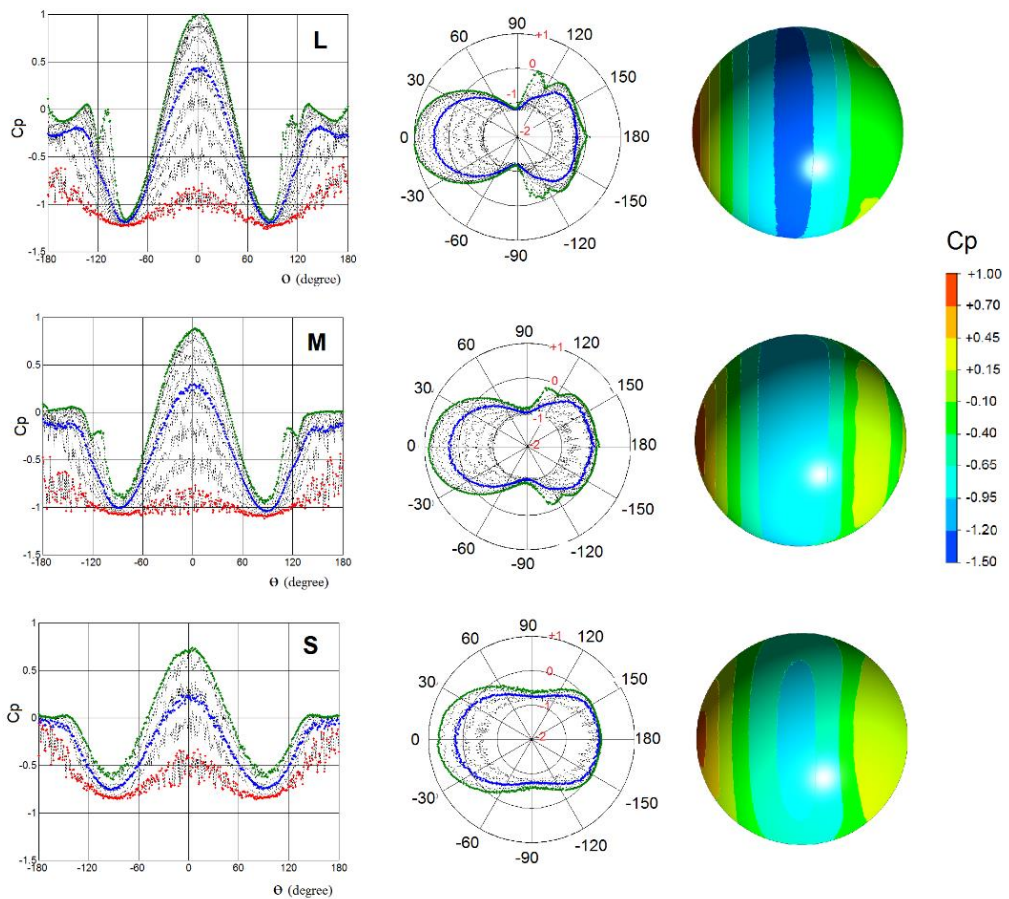
شرایط مرزی تونل باد که در مدل سازی عددی در نظر گرفته شده است در شکل ۷ نشان داده شده است، شرط مرزی سرعت ورودی Velocity inlet بیشتر برای جریان های تراکم ناپذیر (با اعداد ماخ کمتر از یک) استفاده می شود، در زمانی که مقادیر فشار ورودی مشخص باشد میتوان از شرط مرزی فشار ورودی Pressure inlet استفاده کرد، این مرز برای جریان تراکم پذیر و تراکم ناپذیر استفاده میگردد. شرط مرزی دیواره (Wall) در مرزهایی که نواحی سیال یا جامد محصور می‌گردد، بکار گرفته می‌شود. در جریان های لزج، شرط غیر لغزشی بودن (No-Slip) جریان چسبیده به دیواره، پیش فرض نرم افزار است. البته می‌توان با تعیین میزان تنش برشی،

$$\frac{\partial \rho k}{\partial t} + \frac{\partial}{\partial x_j} \left(\rho u_j \frac{\partial k}{\partial x_j} - \left(\mu + \frac{\mu_t}{\sigma_k} \right) \frac{\partial k}{\partial x_j} \right) = \quad (6)$$

$$\tau_{ij} S_{ij} - \rho \varepsilon + \phi_k$$

$$\frac{\partial \rho \varepsilon}{\partial t} + \frac{\partial}{\partial x_j} \left(\rho u_j \varepsilon - \left(\mu + \frac{\mu_t}{\sigma_\varepsilon} \right) \frac{\partial \varepsilon}{\partial x_j} \right) = \quad (7)$$

$$c_{\varepsilon 1} \frac{\varepsilon}{k} \tau_{ij} S_{ij} - c_{\varepsilon 2} f_2 \rho \frac{\varepsilon^2}{k} + \phi_\varepsilon$$



شکل ۸. کانتور ضرایب فشار باد به همراه نمودار این ضرایب در گنبد های کروی حاصل از مدل سازی عددی

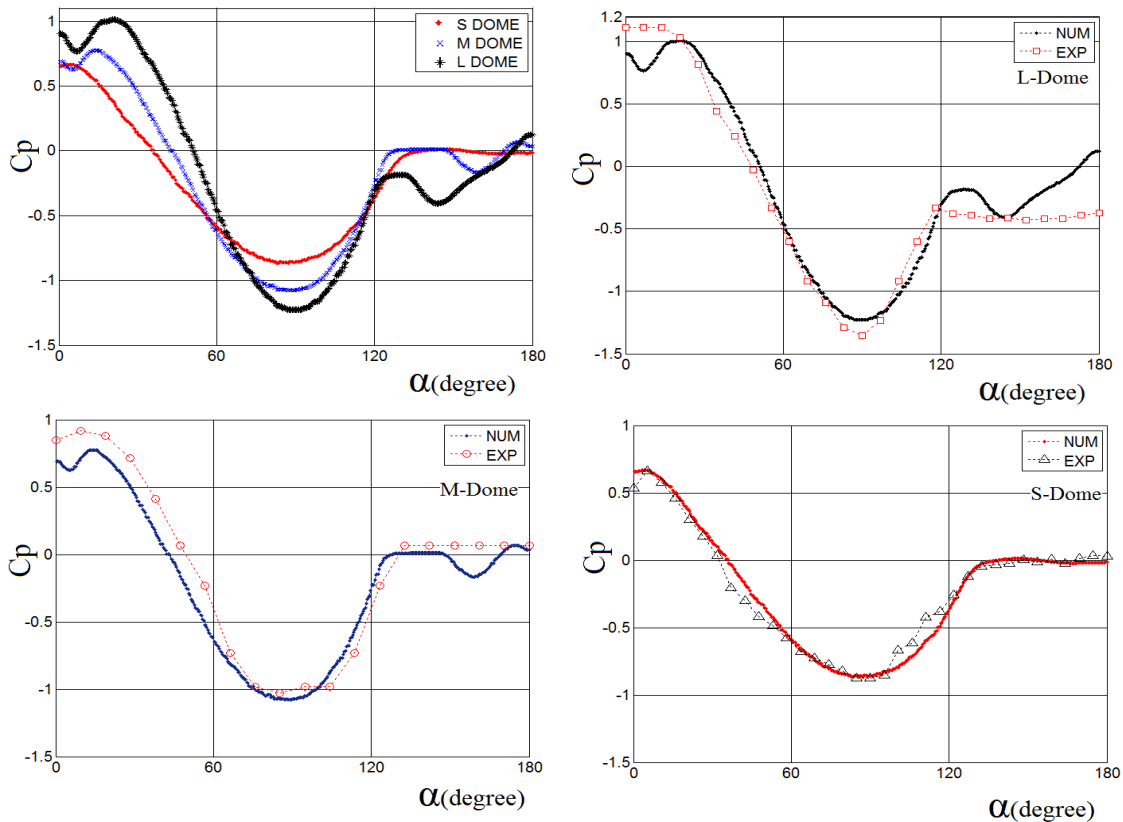
Fig. 8. Contour of wind pressure coefficients along with a graph of these coefficients in spherical domes resulting from numerical modeling

دکارتی مربوط به ضرایب فشار در پایین تراز ارتفاعی گنبد و رنگ قرمز مربوط به بالاترین تراز ارتفاعی گنبد و دیگر خطوط مربوط به سایر ترازهای ارتفاعی است.

همانطور که در شکل ۸ مشاهده می شود، ضرایب فشار در گنبد های M و S، در $\theta = 150^\circ$ تا $\theta = 180^\circ$ تقریباً دارای مقادیر ثابتی است. در شکل ۹، نتایج حاصل از آزمایش تونل باد و مدل سازی عددی مقایسه شده است. بیشینه ضرایب فشار مثبت حاصل از مدل سازی عددی در گنبد های S و M و L برابر با $1/02$ و $1/07$ است، همچنین بیشینه ضرایب فشار منفی (مکش) برای گنبد های ذکر شده به ترتیب برابر $-1/22$ و $-1/07$ است. آنچه در شکل واضح است نزدیک بودن نتایج آزمایش تونل باد و نتایج حاصل از مدل سازی عددی بر مبنای روش (CFD) با بکارگیری نرم افزار ANSYS است.

سرعت جریان چسبیده به دیوار را مشخص نمود. در مدل سازی عددی جریان باد به صورت یکنواخت در ارتفاع تونل در نظر گرفته شده است.

۴-۱- مدل سازی عددی گنبد های با سطح پوشش صیقلی
 در این بخش گنبد های S و M و L با سطح صیقلی مدل سازی شده و ضرایب فشار بر روی این گنبد ها ارائه شده است، در شکل ۸، کانتور ضرایب فشار بر روی گنبد های S و M و L حاصل از مدل سازی عددی مشاهده می شود، همچنین نمودار ضرایب فشار در مختصات دکارتی و مختصات قطبی رسم شده است، مشاهده می شود با افزایش نسبت ارتفاع به قطر گنبد (k)، بیشینه ضرایب فشار مثبت و همچنین بیشینه ضرایب فشار منفی (مکش) می باید. در این شکل ضرایب فشار در تمامی نقاط گنبد ها در ترازهای ارتفاعی متفاوت رسم شده است، نمودار سیز رنگ در مختصات



شکل ۹. مقایسه نتایج حاصل از آزمایش تونل باد و مدل‌سازی عددی

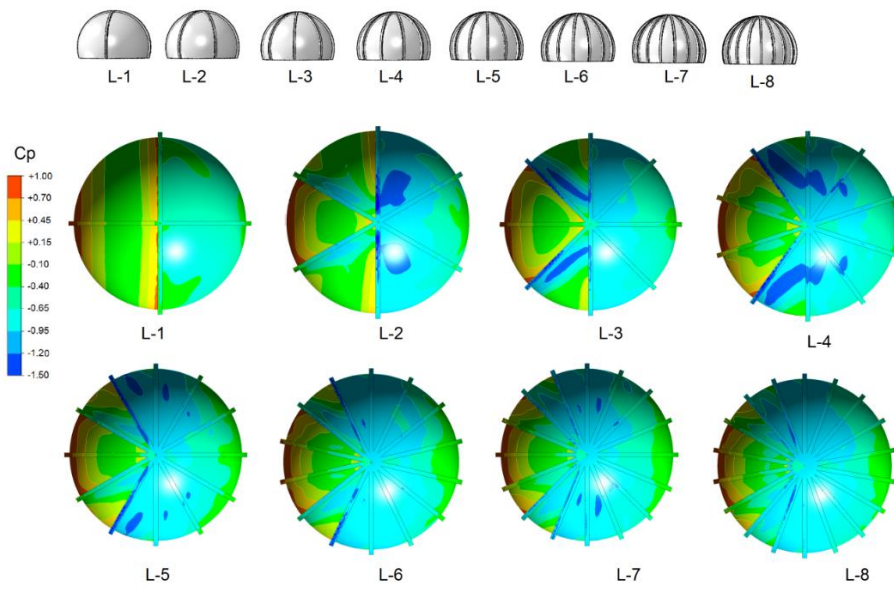
Fig. 9. Comparison of results from wind tunnel testing and numerical modeling

محل برآمدگی می‌شود، در گنبد L-۱ - که شیارها در زاویه $\theta = 90^\circ$ و $\theta = 0^\circ$ نسبت به اعمال جهت باد قرار دارد، پرش در مقادیر ضریب فشار به سمت مقادیر مثبت در محل برآمدگی قرار گرفته در 90° درجه اتفاق می‌افتد، در گنبد L-۲ - که برآمدگی در $\theta = 60^\circ$ و $\theta = 120^\circ$ قرار دارد پرش در ضرایب فشار در این زوایا قابل مشاهده است، نکته مهم این است که در طراحی گنبدهایی از قبیل گنبدهای نشان داده شده در شکل ۱۱ نمی‌توان از ضرایب فشار گنبدهای کروی که دارای سطحی صیقلی هستند استفاده کرد و باید هنما ضرایب فشار سازه مورد نظر را با استفاده از آزمایش تونل باد و یا مدل‌سازی عددی به دست آورد.

۴-۳- مدل‌سازی عددی گنبدهای دارای شیار در سطح پوشش در شکل ۱۲، ضرایب فشار گنبدهای L و M و S در صورتی که ورق‌های پوشش موج دار باشند مدل‌سازی شده است، در این شکل علاوه بر کانتور ضرایب فشار باد، نمودار این ضرایب نیز رسم شده است. آنچه در این

۴-۲- مدل‌سازی عددی گنبدهای دارای برآمدگی در پوشش در این بخش باهدف بررسی تأثیر ایجاد برآمدگی در پوشش سقف مشابه آنچه در شکل ۱، ارائه شده است، اثر این برآمدگی‌ها مورد بررسی قرار گرفته است، در شکل ۱۰، ایجاد برآمدگی‌هایی بر روی سطح مورد بررسی قرار گرفته است شکل ۱ L- دارای چهار برآمدگی است که سقف را به چهار ناحیه تقسیم می‌کند به تدریج تعداد برآمدگی‌ها افزایش یافته تا اینکه در نمونه ۸ L، تعداد برآمدگی در سقف به ۱۸ عدد می‌رسد، این گنبدها در نرم افزار مدل شده است و نتایج ارائه شده است در شکل ۱۰، کانتور ضرایب فشار بر روی این گنبدها ترسیم شده است، با افزایش تعداد این برآمدگی‌ها در سطح سازه تغییر در ضرایب فشار کاملا مشهود است.

شکل ۱۱ ضرایب فشار بر روی گنبد L با وجود حالات مختلف ایجاد برآمدگی بر روی این گنبد را نشان می‌دهد، این ضرایب فشار برای تمامی تراژهای ارتفاعی گنبد رسم شده است، همانطور که مشاهده می‌شود، ایجاد برآمدگی بر روی سطح گنبد باعث ایجاد پرش در مقادیر ضرایب فشار در



شکل ۱۰. کانتور خسایب فشار بر روی گنبدهای کروی L با برآمدگی‌های ایجاد شده بر روی سازه

Fig. 10. Contour of pressure coefficients on spherical domes (L) with Prominence created on the structure

ویسکوز است. گرادیان سرعت در لایه‌مرزی و نواحی جریان‌های حلقوی خیلی بیشتر از بقیه نواحی میدان جریان است. از آنجاکه تنش‌های برشی (یعنی اثرات ویسکوزیته) حاصل ضرب ویسکوزیته سیال و گرادیان سرعت هستند، اثرات ویسکوزیته به لایه‌مرزی و ناحیه جریان‌های حلقوی محدود می‌شوند. افزایش گردابه در پشت سازه باعث افزایش ضرایب منفی در این ناحیه می‌شود.

۵- نتیجه‌گیری

در این مقاله اثر بار باد بر روی گنبدهای کروی مورد بررسی قرار گرفت و ضرایب فشار باد بر روی این نوع از گنبدها با استفاده از آزمایش تونل باد و مدل‌سازی عددی بر مبنای روش دینامیک سیالات محاسباتی (CFD) ارائه شده است، نتایج زیر از انجام تحقیق حاصل می‌شود.

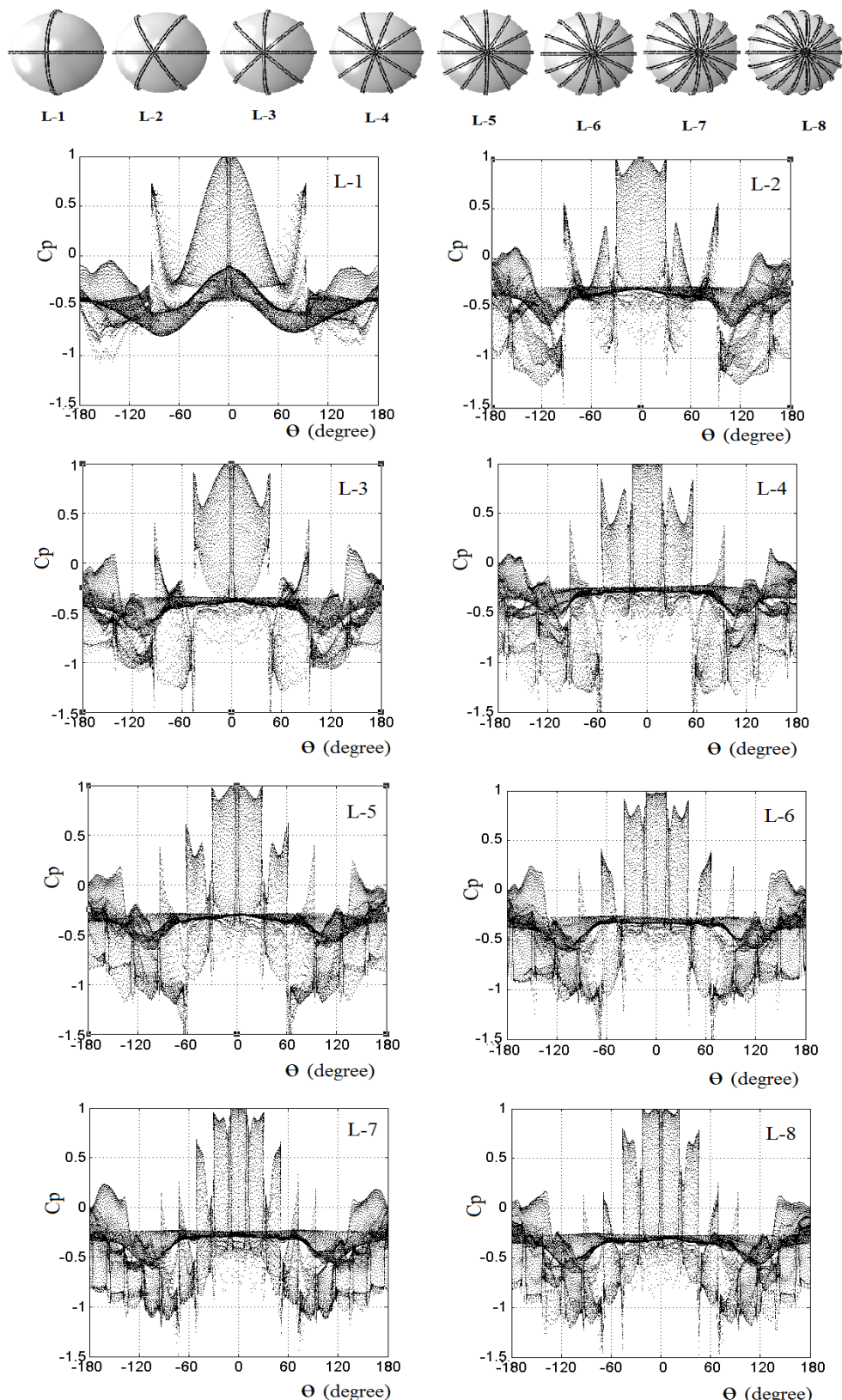
۱- با افزایش نسبت ارتفاع به دهانه گنبد، حداقل مقادیر فشار منفی (مکش) افزایش می‌یابد، در گنبدهایی با نسبت ارتفاع به دهانه کم، سطح بیشتری از گنبد تحت مکش قرار می‌گیرد، بهطوری‌که در آزمایش تونل باد مشاهده می‌شود گنبدهایی با ارتفاع کم تحت تأثیر بار باد از کف تونل به سمت بالا کشیده می‌شود.

۲- بیشینه ضرایب فشار مثبت حاصل از مدل‌سازی عددی در گنبدهای S و M برابر با $1/02$ و $1/06$ است، همچنین بیشینه ضرایب فشار

شکل قابل ملاحظه است و در مقایسه با شکل ۸، که مقادیر ضرایب فشار گنبدهای ذکر شده در حالتی که پوشش به صورت صیقلی باشد این است که مقادیر ماکریم فشار و مکش تفاوتی ندارد تنها تفاوت در جمع شدگی مقادیر ضرایب فشار در زاویه $\theta = 90^\circ$ تا 120° است بعلاوه پرش‌های کوچکی که در محل شیارها مشاهده می‌شود.

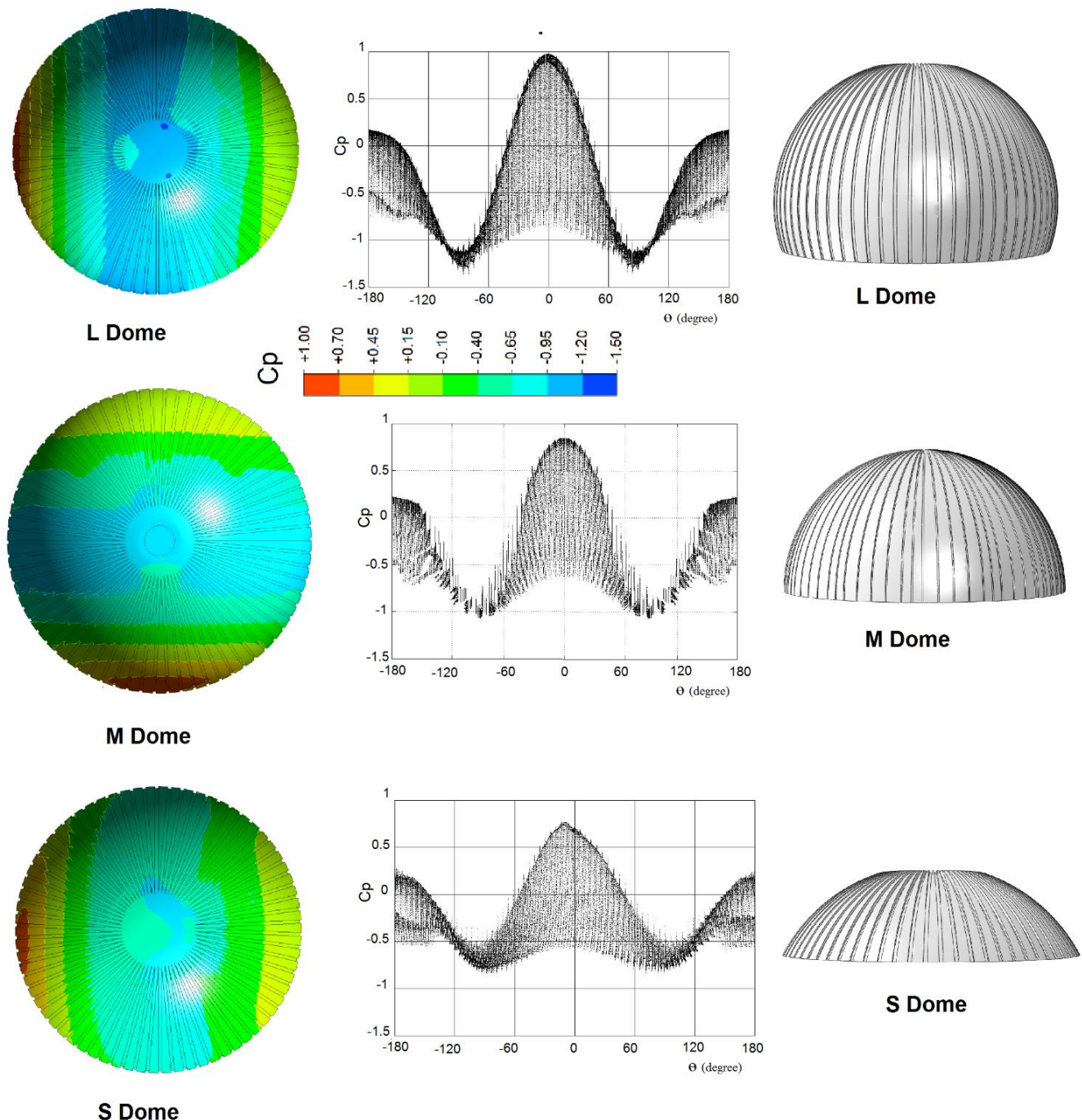
هنگامی که سیال از روی سازه عبور می‌کند، می‌تواند دارای اعداد رینولدز منفأوتی باشد. به طور کلی هرچقدر عدد رینولدز بزرگ‌تر باشد، ناحیه‌ای از میدان جریان که در آن اثرات ویسکوزیته مهم هستند، کوچک‌تر است. مشخصه دیگری از جریان نیز مشاهده می‌گردد که جداسازی جریان نام دارد، با افزایش بیشتر عدد رینولدز اثرات اینرسی سیال اهمیت پیدا کرده و در بعضی موقعیت‌ها خط جریان روی جسم به گونه‌ای است که نمی‌تواند مسیر منحنی اطراف جسم را دنبال کند و از روی جسم بلند می‌شود. نتیجه این مسئله، گردابه جداشده پشت استوانه است که در آن مقداری از سیال به سمت بالادست و درواقع مخالف جهت جریان بالادست حرکت می‌کنند. در شکل ۱۳، خطوط جریان در اطراف گنبد رسم شده است.

با افزایش عدد رینولدز، ناحیه ویسکوز به پایین دست جریان رانده می‌شود که لایه‌مرزی نازک روی قسمت جلویی سازه وجود دارد و یک ناحیه جریان‌های حلقوی (wake) نامنظم در قسمت پایین دست سازه رخ می‌دهد. جریان در خارج از لایه‌مرزی و ناحیه جریان‌های حلقوی، مانند جریان بدون



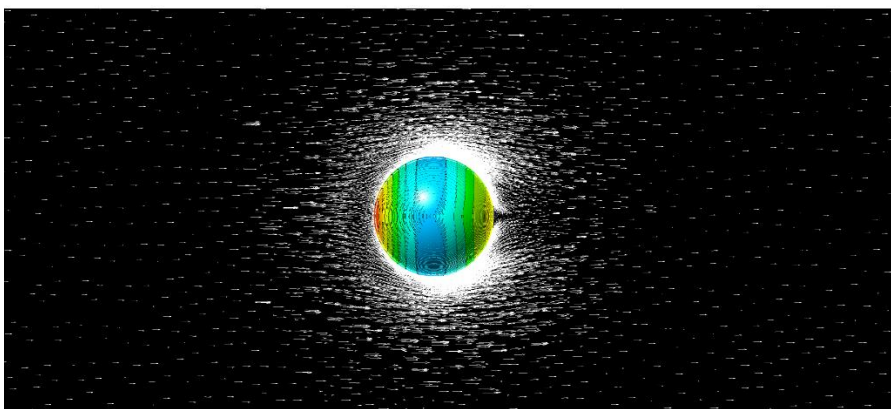
شکل ۱۱. نمودار ضرایب فشار بر روی گنبدهای کروی L با برآمدگی‌های ایجاد شده بر روی سازه

Fig. 11. Pressure coefficient diagram on L-shaped spherical domes with protrusions created on the structure



شکل ۱۲. نمودار و کانتور ضرایب فشار بر روی گنبدهای کروی با پوشش ورق های شیار دار

Fig. 12. Chart and contour of pressure coefficients on spherical domes covered with corrugated sheets



شکل ۱۳. خطوط جریان اطراف گنبد

Fig. 13. Streamlines around the dome

منابع

- [1] S. Vinothni, P. Sangeetha, Space Frame Structure as Roof and Floor System—A Review, Sustainable Practices and Innovations in Civil Engineering: Select Proceedings of SPICE 2021, (2022) 291-298.
- [2] P.K. Goyal, S. Kumari, S. Singh, R.K. Saroj, R.K. Meena, R. Raj, Numerical study of wind loads on Y plan-shaped tall building using CFD, Civil Engineering Journal, 8(2) (2022) 263-277.
- [3] F. Rezaeinamdar, M. Sefid, H. Nooshin, Numerical and experimental investigation of wind pressure coefficients on scallop dome, Int. J. Optim. Civil Eng, 12(3) (2022) 313-334.
- [4] H. Sadeghi, M. Heristchian, A. Aziminejad, H. Nooshin, Wind effect on grooved and scallop domes, Engineering Structures, 148 (2017) 436-450.
- [5] M.J. Park, S.W. Yoon, Y.C. Kim, D.J. Cheon, Wind pressure characteristics based on the rise–span ratio of spherical domes with openings on the roof, Buildings, 12(5) (2022) 576.
- [6] J.H. Lee, Y.C. Kim, D.J. Cheon, S.W. Yoon, Wind pressure characteristics of elliptical retractable dome roofs, Journal of Asian Architecture and Building Engineering, 21(4) (2022) 1561-1577.
- [7] A. Verma, R.K. Meena, R. Raj, A.K. Ahuja, Experimental investigation of wind induced pressure on various type

منفی (مکش) برای گنبدهای ذکر شده به ترتیب برابر -0.86 و -0.71 است.

۳- با مشاهده کاتورهای ضربی فشار مشاهده می‌شود تقریباً در $\theta = 150^\circ$ تا $\theta = 180^\circ$ ضربی فشار برای تمامی گنبدها ثابت است.

۴- با مقایسه نتایج حاصل از مدل‌سازی عددی و نتایج حاصل از آزمایش تونل باد، تطابق مناسب در این نتایج دیده می‌شود در نتیجه می‌توان مدل‌سازی عددی را یک راه جایگزین و دقیق آزمایش تونل باد در نظر گرفت.

۵- با توجه به نتایج مدل‌سازی گنبدهای دارای برآمدگی در پوشش (مطابق شکل ۱۱)، مشاهده می‌شود که تغییرات زیادی در نمودار ضرایب فشار این گنبد در مقایسه با گنبدهای دارای پوشش صیقلی وجود دارد، لذا نمی‌توان در طراحی این نوع از گنبدها، از ضرایب فشار گنبدهای کروی که دارای سطحی صیقلی هستند استفاده کرد و باید حتماً ضرایب فشار سازه مورد نظر را با استفاده از آزمایش تونل باد و یا مدل‌سازی عددی بدست آورد.

۶- در گنبدهای دارای برآمدگی، با توجه به ارتفاع و تعداد برآمدگی موجود در محیط گنبد، ضرایب فشار باد متغیر است، این برآمدگی‌ها باعث پرش در مقادیر ضربی فشار می‌شود که این تغییرات در شکل ۱۱، به طور کامل مشهود است، لذا دقت مدل‌سازی در این نوع از سازه‌ها از اهمیت بسزایی برخوردار است.

۷- تأثیرگذارترین حالت قرارگیری برآمدگی در حالتی است که برآمدگی گنبد در $\theta = 90^\circ$ قرار بگیرد که در این صورت پرش ضرایب فشار به سمت مقادیر مثبت به مقدار $C_p = 0.7/0$ رسد.

- [15] N. Su, S. Peng, Y. Uematsu, Reynolds number effects on the wind pressure distribution on spherical storage tanks, *Journal of Wind Engineering and Industrial Aerodynamics*, 208 (2021) 104464.
- [16] A. Sheikh Aleslami, H. Sadeghi, Effect of wind load on Milad Tower and adjacent buildings case study: shed adjacent to tower, *Iranica Journal of Energy & Environment*, 14(3) (2023) 289-300.
- [17] E. Rajabi, H. Sadeghi, M.R. Hashemi, Wind effect on building with Y-shaped plan, *Asian Journal of Civil Engineering*, 23(1) (2022) 141-151.
- [18] H. Sadeghi, M. Heristchian, A. Aziminejad, H. Nooshin, CFD simulation of hemispherical domes: structural flexibility and interference factors, *Asian Journal of Civil Engineering*, 19(5) (2018) 535-551.
- [19] U. Manual, ANSYS FLUENT 12.0, Theory Guide, 67 (2009).
- [20] J. Bardina, P. Huang, T. Coakley, J. Bardina, P. Huang, T. Coakley, Turbulence modeling validation, in: 28th Fluid dynamics conference, 1997, pp. 2121.
- [21] W.P. Jones, B.E. Launder, The prediction of laminarization with a two-equation model of turbulence, *International journal of heat and mass transfer*, 15(2) (1972) 301-314.
- [22] B.E. Launder, B.I. Sharma, Application of the energy-dissipation model of turbulence to the calculation of flow near a spinning disc, *Letters in heat and mass transfer*, 1(2) (1974) 131-137.
- [23] L. Pagnini, S. Torre, A. Freda, G. Piccardo, Wind pressure measurements on a vaulted canopy roof, *Journal of Wind Engineering and Industrial Aerodynamics*, 223 (2022) 104934.
- [24] T. Taylor, Wind pressures on a hemispherical dome, *Journal of Wind Engineering and Industrial Aerodynamics*, 40(2) (1992) 199-213.
- [25] N. Kharoua, L. Khezzar, Large eddy simulation study of turbulent flow around smooth and rough domes, *Proceedings of the Institution of Mechanical Engineers, Part C: Journal of Mechanical Engineering Science*, 227(12) (2013) 2686-2700.
- [26] P. Zhou, B. Tang, P. Liu, G. Zheng, Study on wind load distribution on the surface of dome structure based on CFD numerical simulation, in: *Journal of Physics: Conference Series*, IOP Publishing, 2019, pp. 052056.
- [27] S. Nie, X. Zhou, Y. Shi, C. Gou, T. Zhou, Wind tunnel test on wind load characteristic of low-rise sloping roof buildings, *Jianzhu Jiegou Xuebao (Journal of Building Structures)*, 33(3) (2012) 118-125.
- [28] S. Khosrowjerdi, H. Sarkardeh, Effect of wind load on combined arches in dome buildings, *The European Physical Journal Plus*, 137(2) (2022) 227.
- [29] X. Sun, K. Arjun, Y. Wu, Investigation on wind tunnel experiment of oval-shaped arch-supported membrane structures, *Journal of Wind Engineering and Industrial Aerodynamics*, 206 (2020) 104371.

چگونه به این مقاله ارجاع دهیم

H. Sadeghi, A. Hossein Abiri, M. Foadian, M. Shokouhinia, Numerical and Experimental Investigation of the Effect of Wind Load on Spherical Domes, Focusing on the Type of Roof Covering, *Amirkabir J. Civil Eng.*, 57(4) (2025) 677-694.

DOI: [10.22060/ceej.2025.23601.8187](https://doi.org/10.22060/ceej.2025.23601.8187)



